

## 주성분 자기조직도를 이용한 마이크로어레이 자료의 분석

박미라<sup>1)</sup> 장유진<sup>2)</sup> 허명희<sup>3)</sup>

### 요 약

마이크로어레이 자료의 분석에 있어서 주성분 자기조직도(principal component SOM)의 유용성을 알아보고, 흔히 사용되는 다른 군집분석방법과 비교하였다. 또한 MST(minimal spanning tree)를 이용하여 주성분자기조직도 결과의 적합성을 알아보았다.

주요용어 : 자기조직도(SOM), 마이크로어레이실험, 유전자발현

### 1. 서론

최근 cDNA와 올리고뉴클레오타이드 마이크로어레이칩 기술의 발달로 수천 개의 유전자 발현양상을 동시에 관찰할 수 있게 되었다. 마이크로어레이 자료분석의 주요 목적 중 하나는 유사한 패턴을 가진 유전자(또는 샘플)의 군집을 파악하는 것으로, 이를 통해 같은 기능을 가진 집단의 탐색이나 알려지지 않은 유전자들의 성질을 파악할 수 있게 된다. 유전자발현프로필의 군집방법으로 계층적 군집분석이나 k-평균 군집분석, 주성분분석 등이 적용되고 있다. Kohonen(1995)에 의해 개발된 자기조직도(Self-organizing Map; SOM)도 여러 연구에서 유전자의 패턴인식에 유용한 것으로 알려져 있다(Tamayo et al., 1999; Toronen et al., 1999). 그러나 이의 적용에는 노드의 수와 형태, 비 연속적인 지도제공 등의 여러 문제가 있다. 이러한 문제에 대한 대안으로서 Huh(2003)는 주성분 자기조직도(principal component SOM; PC-SOM)를 제안한 바 있다. 이 연구에서는 잘 알려진 두 종류의 마이크로어레이 데이터를 이용하여 유전체자료의 분석에 있어서 주성분 자기조직도의 유용성을 연구하였다. 또한 이를 기존의 군집분석방법과 비교하고, MST(minimal spanning tree)를 이용하여 주성분자기조직도 결과의 적합성을 알아보았다.

### 2. 주성분 자기조직도의 기본 알고리즘

주성분 자기조직도(PC-SOM)의 기본 아이디어는 1차원 자기조직도(SOM) 산출이후 입력개

\* 이 연구는 한국학술진흥재단 지원으로 수행되었음 (R14-2003-002-01001-0)

1) 대전시 중구 용두동 143-5, 을지의과대학교 의예과, 조교수.

2) 서울시 성북구 안암동 5-1, 고려대학교 통계학과, 석사과정.

3) 서울시 성북구 안암동 5-1, 고려대학교 통계학과, 교수.

## 주성분 자기조직도를 이용한 마이크로어레이 자료의 분석

체들을 각각 대표점과 잔차로 분리하고 여기서 발생한 잔차들로 별개의 1차원 SOM을 다시 구하여 기존의 결과에 교차적으로 붙여 2차원 SOM을 만드는 것이다(Huh,2003). 기본형 PC-SOM을 구하기 위한 구체적인 알고리즘은 다음과 같다.

- 1) 1축의 노드수( $c_1$ )를 정한 뒤 주성분분석을 실시하여 제 1 고유값  $\lambda_1$ 을 구한다. 1축의 사영 점들의 실질적인 범위를  $(-2.5\sqrt{\lambda_1}, 2.5\sqrt{\lambda_1})$ 이라고 하면, 노드의 간격을 일정하게 하기 위한 구간의 초기치는  $interval = 5\sqrt{\lambda_1}/(c_1 - 1)$ 이 된다.
- 2) 1차원 SOM을 구하여 승자 노드  $k_1(i)$ 와 해당하는 중량  $w_{k1}(i)$ 를 구한다. 입력개체  $x_i$ 를 중량  $w_{k1}(i)$ 와 잔차  $x_i - w_{k1}(i)$ 로 나누고 입력개체를 잔차로 대체한다.
- 3) 다시 주성분분석을 실시하여 제 1 고유값  $\lambda_2$ 를 구한다. 이 때 1축과 2축의 그리드간격을 같게 하기 위한 제 2축의 노드수는

$$c_2 = round(5\sqrt{\lambda_2}/interval) + 1$$

이 된다. 여기서  $round(\cdot)$ 는 반올림 함수이다.

- 4)  $c_2$ 개의 노드를 갖는 1차원 SOM을 만들어 승자노드와 중량들의 리스트를 구한다. 이에 따라 입력개체  $x_i$ 는 2차원 SOM에서 노드  $(k_1(i), k_2(i))$ 로 배치된다.

이러한 절차를 반복적용하면 3차원 이상의 지도를 작성할 수도 있으며, 이 때 2축의 노드수는 자동적으로 정해지게 된다. 한편 보간형 PC-SOM은 비연속적인 지도를 주는 SOM의 문제점을 보완하기 위한 방법으로, 입력개체를 해당노드의 중량으로 할당하는 대신 인접중량들의 가중치로 대체하여 지도를 보다 연속적으로 만드는 방법이다. 입력개체  $x$ 에 대한 승자노드의 중량을  $w_k$ , 이의 왼쪽과 오른쪽 인접 노드 중량을 각각  $w_l, w_r$ 라고 했을 때, 승자노드  $w_k$ 에 단순할당하는 대신 이 두 인접노드를 연결하는 선분상에서 입력개체에 가장 가까운 점을 찾아 할당하는 방법이다. 예컨대 왼쪽노드와 오른쪽 노드의 연결선을 각각 7등분한 점을 부노드(subnode)라고 하고 그 중의 한 점으로 할당하는 방법을 쓸 수 있다. PC-SOM의 장점 중 하나는 각 중량의 성분을 관찰함으로써 SOM의 각 축이 어떤 변수적 특성을 갖는지 알 수 있다는 점이다.

## 3. 마이크로어레이 자료와 분석결과

cDNA 칩 및 올리고뉴클레오타이드 칩을 이용하여 얻은 마이크로어레이 데이터에 자기조직도를 적용하여 보았다. 유전자발현은 올리고뉴클레오타이드 칩에 의한 결과일 때는 절대적인 값이지만 cDNA 칩의 경우에는 참조샘플과 비교하여 구해진 상대적인 값이 된다. 이 데이터들은 각 유전자별로 평균을 0으로 중심화시켰으며, 분산을 1로 표준화시킨 경우와 표준화하지 않은 두 가지 경우에 대해 모두 분석을 실시하였다. 발생된 결측치에 대해서  $k$ -nearest neighbor algorithm을 사용하여 결측치를 추정하였고  $k$ 는 5로 지정하였다. 이때 이웃(neighbor)은 유전자이고 이웃간의 거리는 유전자간 상관에 근거한 것이다. 분석과 그래프는 SAS/IML 및 SAS/GRAFH를 이용하였다. 사용된 데이터는 다음과 같다.

### 림프구 데이터

이 데이터는 성인 림프성 질병의 유전자발현연구에서 나온 것으로 cDNA 마이크로어레이 실험에서 얻어진 것이다(Alizadeh et al., 1999). 원 데이터는 96개의 샘플에서 구해진 것이나 여기서는 이 중 세가지 림프성 질병, B-cell chronic lymphocytic leukemia(B-CLL), follicular lymphoma(FL), diffuse large B-cell lymphoma(DLBCL)만을 취하여 모두 62개의 샘플(11개의 B-CLL, 9개의 FL, 42개의 DLBCL)에 대한 4026개의 유전자 발현값이다. 데이터는 강도비에 밀이 2인 로그를 취한 값이다 (cf. <http://genome-www.stanford.edu/lymphoma>)

### 백혈병 데이터

이 데이터는 총 3571개의 유전자의 발현값으로 구성되어 있으며 세 종류의 샘플로 구분되어 있다. 38개의 B-cell acute lymphoblastic leukemia(ALL)과 9개의 T-cell ALL, 25개의 acute myeloid leukemia(AML)로 나뉘어진다(Golub et al., 1999). 유전자발현수준은 Affymetrix사의 고밀도 oligonucleotide array로 측정된 것이다. 데이터는 Dudoit et al.(2002)에서와 같은 전처리 과정을 거쳐 얻어진 것이다 (cf. <http://www.genome.wi.mit.edu/MPR>).

데이터의 일부 분석결과를 보면 다음과 같다. <그림 1>은 림프구데이터에  $4 \times 3$  보간형 PC-SOM을 적용한 결과이다. 분석자가 1축의 노드수로 4를 정하였고, 2축의 노드수는 3으로 계산되었다. 윗줄 오른쪽 그림에서 x2-x42와 x63은 DLBCL 세포이며, x43-x51은 FL 세포이고, x52-x62는 CLL 세포를 가리킨다. 세 그룹이 잘 분리되어 있음을 알 수 있다. 1축의 우측에는 주로 DLBCL 셀들이, 좌측에는 주로 CLL 및 FL 셀들이 포진하고 있으며, CLL과 FL 셀은 2축에 의해 분리되고 있다. 이의 아래쪽 그림은 몇 개의 유전자에 대한 변수그림으로서 예컨대 Fibronectin 과 FcERI같은 유전자들은 1축의 노드가 증가함에 따라 증가하는 경향을 보여, 이들이 주로 FL 및 CLL보다는 주로 DLBCL에서 발현하고 있음을 시사한다. 실제로 이들은 “림프노드(Lymph node)” 신호로 정의되는 유전자들로 알려져 있으며, DLBCL 셀과 연관이 있는 것으로 알려져 있다. 한편 CD23-A나 TCL-1과 같은 유전자들은 반대의 패턴을 보여 이들이 DLBCL보다는 주로 FL 및 CLL보다는 주로 DLBCL에서 발현하고 있음을 시사한다. 왼쪽 위의 그림은 2축에 대한 변수그림이다. 여기서 CD10이나 CD1-C등의 유전자들은 FL 셀과 CLL 셀을 구분짓는 역할을 한다는 것을 알 수 있다. 이들은 “배중심 B세포(Germinal Center B cell)”의 특성을 갖는 유전자들로 알려져 있다.

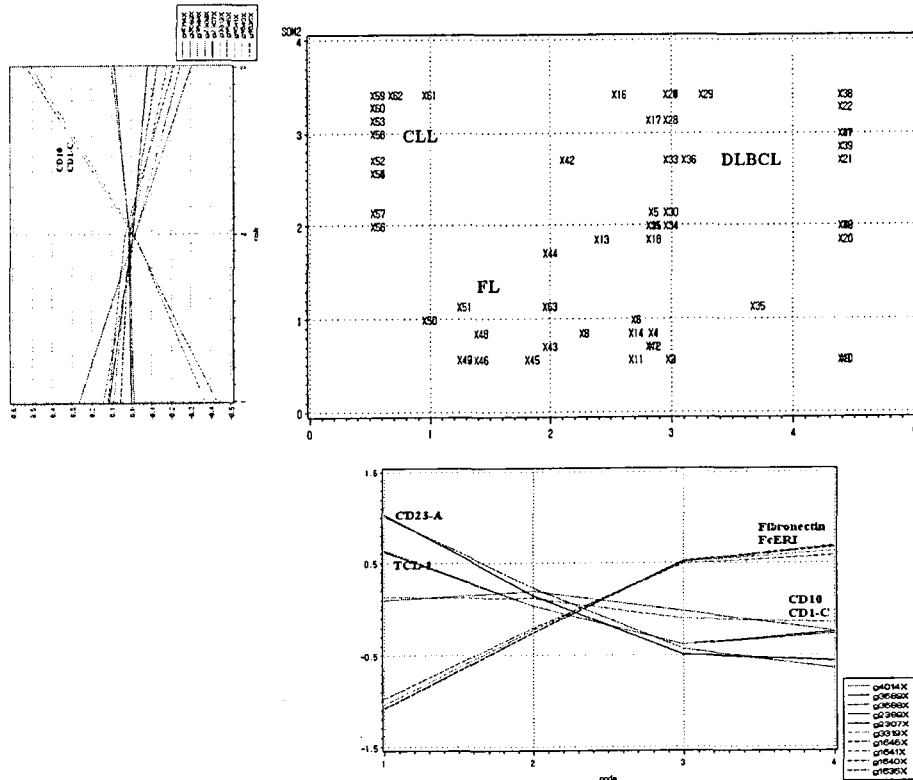
<표 1>은 백혈병데이터의 기본 PC-SOM 결과이다. 각 열은 1축의 노드를, 각 행은 2축의 노드를 의미하며, 표안에는 할당된 셀이름이 있다. A로 시작되는 것은 ALL 셀을 의미하고, B로 시작되는 것은 B-cell ALL, T로 시작하는 것은 T-cell ALL을 의미한다. 1축에 의해 ALL과 AML이 대부분 잘 나누어지고 있음을 알 수 있다. 한편 <그림 2>는 백혈병데이터의 보간형 PC-SOM 결과의 노드를 MST(minimal spanning tree)를 이용하여 연결한 것이다. 따로 표기가 없는 왼쪽의 점들은 B-cell ALL이며, 오른쪽의 따로 표기가 없는 점들은 AML 셀들이다. 여기서는 5개의 변(edge)을 제거하여 6개의 자연적인 군집을 생성하였으며, 군집결과 기대한대로 각 그룹을 잘 분할해주고 있음을 알 수 있다.

## 4. 결론

두 종류의 마이크로어레이 데이터에 PC-SOM을 적용한 결과 같은 그룹에 속하는 샘플들이 같은 군집으로 잘 분리되었으며, 변수그림을 통해 쉽게 각 유전자와 샘플들간의 연관성을 파악할 수 있었다. 또한 보간형 PC-SOM을 사용함으로써 비교적 손쉬운 방법으로 특정 군집으로의 단순할당보다 정밀하게 샘플간의 거리를 표현할 수 있었다. 이 방법은 Kohonen의 SOM을

## 주성분 자기조직도를 이용한 마이크로어레이 자료의 분석

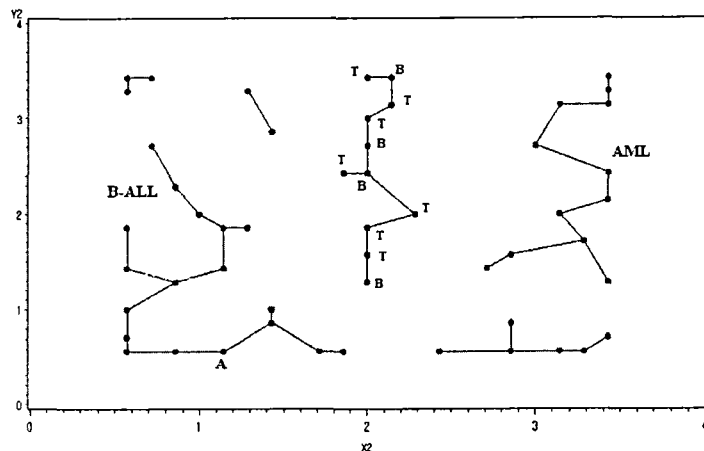
단순 적용한 경우와 비교할 때 2축의 노드수를 사전에 정하지 않아도 된다는 이점이 있으며, 보다 연속적인 출력을 가능하게 함으로써 향상된 시각화를 제공한다. 또한 SOM에서는 제공하지 않는 변수그림을 같이 그릴 수 있다는 장점이 있다. 한편 주성분분석의 경우에는 연속적인 그래프를 제공하지만 특정군집으로의 할당을 정해주는 않는다. 따라서 마이크로어레이자료분석에 있어서 PC-SOM의 활용은 이 두 방법의 장점을 잘 결합하는 방안이라 할 수 있겠다.



<그림 1> 림프구 데이터의 4x3 보간형 PC-SOM 결과와 변수그림

Node	1	2	3
1	B3_1, B9_1, B11_1, B27_1, B31_1, B33_1, B41_1, B49_1, B11_2, B31_2, B33_2	T5_1, T7_1, B15_1, B17_1, T19_1, T29_1, B35_1	A67_1, A71, A75, A77, A61_1, A45_2, A65_2, A67_2
2	B51_1, B53_1, B3_2, B7_2, B27_2, B29_2	T13_1, T21_1, T23_1, T47_1, B13_2, T35_2	A73, A57_1, A63_1, A85_1, A49_2, A47_2, A59_2, A69_2
3	B37_1, B39_1, B43_1, B45_1, B15_2, B17_2, B19_2, B21_2, B23_2, B9_2, B39_2, B41_2, A63_2, B25_2	B25_1, B55_1, B5_2, B37_2, A57_2	A69_1, A59_1, A43_2, A51_2, A53_2, A55_2, A61_2

<표 1> 백혈병 데이터의 기본 PC-SOM 결과



<그림 2> 백혈병 데이터의 보간형 PC-SOM에 대한 MST 결과

#### 참고문헌

- Alizadeh, A.A., Eisen, M.B., Davis, R.E., et al. (2000) Different type of diffuse large b-cell lymphoma identified by gene expression profiling. *Nature*, 403:503-511.
- Dudoit, S., Fridlyand, J., and Speed, T. P. (2002). Comparison of discrimination methods for the classification of tumors using gene expression data. *Journal of the American Statistical Association* 97, 77-87.
- Golub, T.R., Slonim, D.K., Tamayo, P., et al. (1999) Molecular classification of cancer: class discovery and class prediction by gene expression monitoring. *Science*, 286:531-537.
- Huh, M. H. (2003) Principal Components Self-Organizing Map PC-SOM, *Korean Journal of Applied Statistics*. 16(2), 321-333.
- Kohonen, T. (1995), *Self-Organizing Map*, Springer-verlag, Berlin.
- Tamayo, P., Slonim, D., mesirov, J., et al. (1999) Interpreting patterns of gene expression with self-organizing maps: Methods and application to hematopoietic differentiation, *Proc. Natl. Acad. Sci.* 96:2907-2912.
- Toronen, P., Kolehmainen, M., Wong, G., and Castren, E. (1999) Analysis of gene expression data using self-organizing maps, *Federation of European Biochemical Societies*. 451., 142-146.